

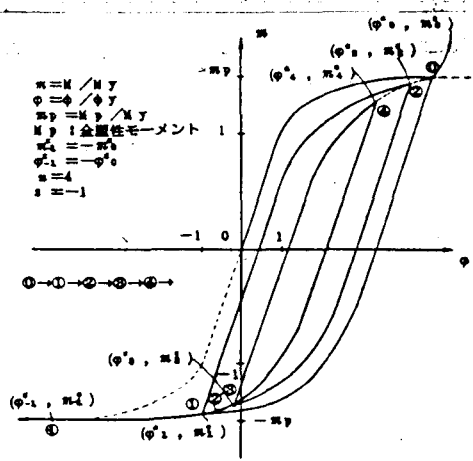
## 塑性域の拡がりを考慮した鋼平面骨組の一実用弾塑性解析法に関する研究

徳島大学工学部 正員 成行 義文 徳島大学工業短期大学部 正員 平尾 淳  
徳島大学工学部 正員 児島 弘行 満 池 組 正員〇三浦 邦武

**1. まえがき** 従来より、骨組の塑性エネルギー吸収能力が、激震時の骨組の耐震性を表わす重要な要因として注目されてい。これらをより正確に算定するためには、部材の断面のせん方向および部材軸方向における塑性域の拡がりを考慮した繰返し荷重をうける骨組の弾塑性解析を行う必要がある。通常、荷重の繰返しに伴う部材軸方向および断面内の弾塑性境界や除荷域境界の変動過程を離散的に記述するために、各部材を多数の材料層より構成される適当な長さの要素に分割し、多数の要素で構成されといふとみなす方法が用いられる。しかし、要素を1つの部材とみなせば、骨組の全体剛性行列式の元数が膨大なものとなり、さらに材料層の数に応じて各々の履歴を表すための記憶量が著しく増大するため、実際の解析では演算時間ならびに計算機内に要する記憶容量等の面で困難さを伴う。一般に、この種の解析は、(1)繰返し荷重に対する断面の断面力-断面变形履歴関係の解析、(2)繰返し荷重をうける骨組の荷重-変位関係の解析の2段階に分けられるが、(1)段階では、実験あるいは数值解析等の結果より定式化された近似式を用い、(2)段階では、部材を分割せずに塑性域の拡がりを考慮し得る部材剛性関係式を用いれば、より効率的な解析となる。本研究は、漸増荷重をうける平面骨組を対象として、後者の効率化について検討し(文献1)の方法を繰返し荷重を対象とした場合に拡張し、その有効性について若干の検討を行つたものである。

**2. 繰返し荷重下の部材変形  $\theta_i, \theta_j$**  平面保持の仮定のもとに諸導かれた完全弾塑性型の応力-ひずみ特性を有する矩形断面の理論モーメント(M)-曲率(φ)履歴関係は、降伏モーメント  $M_y$  および降伏曲率  $\varphi_y$  で正規化して表わすと式(1)、図-1のようである。

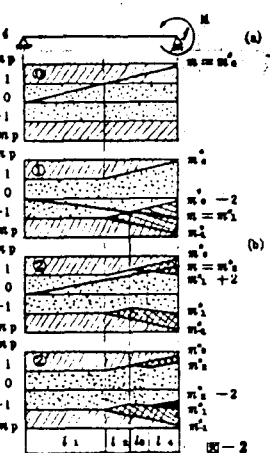
$$\begin{aligned} & \text{・弾性域} : \varphi = m + \varphi_a^* - m_a^* \\ & (S m_a^* \leq S M \leq S(m_a^* + 2S)) \\ & \text{・一次塑性域} : \varphi = 2S / \sqrt{3 - S(m - m_a^*) + \varphi_a^*} \\ & (S(m_a^* + 2S) \leq S M \leq S m_{n-1}^*) \\ & k=2, k_{max} : \varphi = 2S / \sqrt{3 - S(m - m_{n-2(k-1)}) + \varphi_{n-2(k-1)}^*} \\ & (S m_{n-(2k-1)}^* \leq S M \leq S m_{n-(2k-1)}^*) \\ & \text{・二次塑性域} : \varphi = S / \sqrt{3 - 2Sm} \\ & (S m_{n-(2k-1)}^* \leq S M < S m_p) \end{aligned} \quad \left. \begin{array}{l} \\ \\ \end{array} \right\} \quad (1)$$



ここで、 $S$ : モーメント増加過程+1、減少過程-1、 $m_i^*, \varphi_i^*$  ( $i=0, n$ ): 塑性域における反転時の諸量、 $k_m$ :  $n$ が偶数の場合  $\frac{n}{2}+1$  奇数の場合  $\frac{n+1}{2}$  である。

ここでは、これらの関係を用いて前述の効率化に関する検討を行なう。

図-2(a)に示すような単純ばかりijのj端にモーメントMが作用し、Mが図-1の曲線上を、原点→②→①→②→②'のように履歴したとすれば、部材内のモーメントの弾塑性境界等はモーメントの反転に伴って図-2(b)のように推移し、M-φ関係の構成式の数が異なるいくつかの領域に分かれ。図-2(b)の②段階では、4つの領域に分かれている。このように繰返し荷重をうける部材の材端ijのたわみ角  $\theta_i, \theta_j$  は、モーメントの反転時( $(M_i^*, \theta_i^*), (M_j^*, \theta_j^*)$ )を新たな原点とし、そこから次の反転点までの单调載荷過程での増分( $\bar{\theta}_i, \bar{\theta}_j$ )に注目することにより、比較的



容易に求めることができ。ただし、部材の  $\bar{\theta}_i$ ,  $\bar{\theta}_j$  は、前述のように部材がいくつかの領域に分かれているため便宜上、各領域をそれぞれ 1 つの要素部材 ( $k=1, n_k$ ;  $n_k$  は領域数) とみなして、まずそれらの変形  $\bar{\theta}_{ki}$ ,  $\bar{\theta}_{kj}$  を求め、ついで、それらを用いて式(2)により求めめる必要がある。

$$\bar{\theta}_i = \frac{1}{k} \left[ \sum_{n_k=1}^k \bar{\theta}_{ki} l_{n_k} - \sum_{n_k=1}^k \left\{ \sum_{n_l=1}^{n_k} (\bar{\theta}_{lj} - \bar{\theta}_{ni}) \right\} l_{n_l} \dots \right], \quad \bar{\theta}_j = \sum_{n_k=1}^k (\bar{\theta}_{kj} - \bar{\theta}_{ni}) + \bar{\theta}_i \quad \text{--- (2)}$$

**3. 等価線形  $m^* - \varphi^*$  関係** 図-3 に示すように部材し、左端のモーメント  $m_i, m_j$  が、それそれ  $m_i^*, m_j^*$  で反転したものとする。反転時の残留諸量を除くと、部材内のモーメント-曲率関係は、図中の  $m^* - \varphi^*$  座標で表わされるようになる。本研究では、この理論  $m^* - \varphi^*$  曲線を文献1)と同様な方法で、式(3)のような等価な線形関係に置き換えていい。

$$\varphi^* = \alpha^* + \beta m^* \quad \text{--- (3)}$$

すなわち、式(3)を用いた場合の両端のたわみ角 ( $\bar{\theta}_{ei} = K' \{ 3\alpha^* + (2m_i^* + m_j^*)\beta \}$ ,  $\bar{\theta}_{ej} = K' \{ 3\alpha^* + (m_i^* + 2m_j^*)\beta \}$ ,  $K' = k L / 6$ ) と、理論  $m^* - \varphi^*$  関係を用いた場合の、

式(2)より求まる両端のたわみ角 ( $\bar{\theta}_{ei}, \bar{\theta}_{ej}$ ) を等価と置くことにより、 $\alpha^*, \beta$  が式(4)のようになる。

$$\alpha^* = [\bar{\theta}_{ei}/K' - (2m_i^* + m_j^*)\beta] / 3, \quad \beta = (\bar{\theta}_{ei} - \bar{\theta}_{ej}) / K'(m_i^* - m_j^*) \quad \text{--- (4)}$$

式(3)を  $m - \varphi$  座標で表わすと次式のようになる。  $\varphi = \alpha + \beta m, \alpha = \varphi^* - \beta m^* + \alpha^*$   $\text{--- (5)}$

**4. 变形法の基本式 (両端剛節部材の部材方程式)** 図-4 に示すように、部材力が  $S^* = [N, M_i, M_j]^T$ 、部材変形を  $U^* = [u, t_i, t_j]^T$  とすと、これらの関係は曲げの微分方程式に式(5)を代入した式(6)を解くことにより、式(7)のように求まる。(ただし、 $\alpha'_i = d_i/EI, E I$  は曲げ剛性)

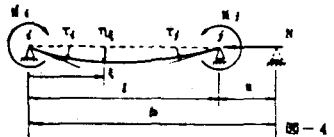
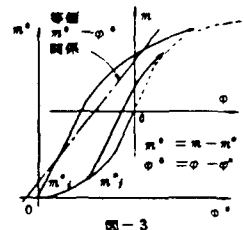
$$\frac{d^2 u}{dx^2} = -\phi_i = -\frac{1}{EI} (\alpha'_i + \beta M_i) \quad \text{--- (6)} \quad S^* = k^* U^* + C \quad \text{--- (7)}$$

刚性行列  $k^*$  やおよび荷重項  $C$  は表-1 に示すようである。

**5. 計算例** 図-5 は、本法の解析精度を比較するために、矩形断面より成る 1 層 1 スパンラーメンの練返し荷重  $P$  と柱頭の水平変位  $S$  との関係をそれぞれ降伏荷重  $P_y$ 、降伏変位  $S_y$  で正規化して示したものである。各半サイクルにおける  $P_i$  の振幅は、図中に  $P_{i, \max}$  で示している。本法との比較に用いた部材分割法では、図中の塑性域が生ずると思われる部分(黒塗り)を九等分割している。この図より本法の精度は良好であることがわかる。また、本法と同程度の精度を有するとと思われる  $n=4$  の場合の分割法による演算時間と本法による演算時間との比は、荷重の振幅および練返し数の違いにより若干ばらつくが、大体、片持ばねで 2.5、1 层 1 スパンラーメンで 17 程度となっており、漸増荷重を対象とした場合はほぼ同じ値を示していた。

**6. あとがき** 本法は演算時間および計算機内に要する記憶容量等の面で比較的実用的な解析法であると思われるが、今後実用断面の  $M - \varphi$  関係の定式化について検討する必要がある。

**参考文献** 1) 成行、平尾、鬼鷹：等価  $M - \varphi$  関係を構造工学論文集 Vol. 3/A 1985年3月, pp 223 ~ 234. 2) 平尾、鬼鷹、成行：鋼構造平面骨組の材料の .....、徳島大学工学部研究報告、第25号、1980年3月, pp 99 ~ 114.



	$\alpha^*$	$\beta$
$\frac{EA}{B}$	0	0
0	$\frac{4EI}{BL}$	$-\frac{2EI}{BL}$
0	$-\frac{2EI}{BL}$	$\frac{4EI}{BL}$

